

01;09

## Резонансные частоты азимутально-однородных колебаний анизотропного шара

© Ю.Ф. Филиппов, З.Е. Еременко

Институт радиофизики и электроники им. А.Я. Усикова АН Украины,  
310085 Харьков, Украина

(Поступило в Редакцию 1 декабря 1998 г.)

Диэлектрикам, применяемым при изготовлении высокочастотных резонаторов, свойственна анизотропия параметров. Развита теория азимутально-однородных резонансных колебаний в шаре, изготовленного из одноосного кристалла. Показано, что влияние анизотропии приводит к возникновению двух типов колебаний *ТМ*-моды в различными частотами. Приведены результаты численного исследования для колебаний, характеризующихся большими значениями полярных индексов.

Спектральные характеристики резонансных колебаний изучены лишь для изотропного шара [1,2]. Низшие типы колебаний в сферическом резонаторе из одноосного кристалла, ограниченного идеально проводящей поверхностью, исследованы в работе [3].

Диэлектрикам, применяемым при изготовлении высокочастотных резонаторов, свойственна анизотропия параметров. Исследование последней представляет интерес как для изучения деформации и появляющейся при этом напряженности электрического поля, так и степени упорядочения доменной структуры. Знание их необходимо при создании интегральных схем миллиметрового и субмиллиметрового диапазонов. Все это приводит к важности изучения влияния анизотропии на резонансные колебания.

В технике широко используются одноосные монокристаллы рубина, лейкосапфира, кварца, обладающие малыми диэлектрическими потерями. Электрические параметры их описываются тензором диэлектрической проницаемости

$$\hat{\epsilon} = \epsilon_{ik}\delta_{ik} \quad \text{при} \quad \epsilon_{xx} = \epsilon_{yy} \neq \epsilon_{zz}, \quad (1)$$

$\epsilon_{zz}$  и  $\epsilon_{xx}$  — проницаемости в направлениях, параллельном и перпендикулярном к оси анизотропии.

В сферической системе координат  $(r, \theta, \varphi)$  тензор  $\hat{\epsilon}$  приводится к виду

$$\hat{\epsilon} = \begin{pmatrix} \epsilon_{rr} & -\epsilon_{r\theta} & 0 \\ -\epsilon_{r\theta} & \epsilon_{\theta\theta} & 0 \\ 0 & 0 & \epsilon_{xx} \end{pmatrix}, \quad (2)$$

где  $\epsilon_{rr} = \epsilon_+ + \epsilon_- \cos 2\theta$ ,  $\epsilon_{\theta\theta} = \epsilon_+ - \epsilon_- \cos 2\theta$ ,  $\epsilon_{r\theta} = \epsilon_- \sin 2\theta$ ,  $2\epsilon_{\pm} = \epsilon_{zz} \pm \epsilon_{xx}$ .

В этой работе нами исследуются азимутально-однородные колебаний ( $\partial E/\partial\varphi = \partial H/\partial\varphi = 0$ ) шара, изготовленного из одноосного монокристалла. Система уравнений Максвелла для них разбивается на две независимые подсистемы, описывающие *ТЕ*- ( $E_r = E_\theta = H_\varphi = 0$ ) и *ТМ*-моды ( $H_r = H_\theta = E_\varphi = 0$ ). Исследование их приводится к нахождению решений

дифференциальных уравнений

$$\left( \frac{\partial^2}{\partial r^2} + \frac{1}{r^2 \sin \theta} \frac{\partial}{\partial \theta} \sin \theta \frac{\partial}{\partial \theta} - \frac{\epsilon_{xx}}{c^2} \frac{\partial^2}{\partial t^2} \right) V = 0, \quad (3)$$

$$\left( \epsilon_{rr} \frac{\partial^2}{\partial r^2} + \frac{1}{r^2 \sin \theta} \frac{\partial}{\partial \theta} \sin \theta \left( \frac{\partial}{\partial \theta} \epsilon_{\theta\theta} - \epsilon_{r\theta} \left( 1 + r \frac{\partial}{\partial r} \right) \right) - \frac{\epsilon_{r\theta}}{r} \frac{\partial^2}{\partial r \partial \theta} - \frac{\epsilon_{xx} \epsilon_{zz}}{c^2} \frac{\partial^2}{\partial t^2} \right) U = 0. \quad (4)$$

Компоненты полей резонансных колебаний выражаются через потенциальные функции  $U$  и  $V$  следующим образом:

$$H_r = \left( \frac{\partial^2}{\partial r^2} + \frac{\epsilon_{xx}}{c^2} \frac{\partial^2}{\partial t^2} \right) V; \quad rcE_\varphi = \epsilon_{xx} \frac{\partial^2}{\partial t \partial \theta} V;$$

$$rH_\theta = \frac{\partial^2}{\partial r \partial \theta} V; \quad (5)$$

для *ТЕ*-моды, а для *ТМ*

$$E_r = \left( \frac{\partial^2}{\partial r^2} + \frac{\epsilon_{\theta\theta}}{c^2} \frac{\partial^2}{\partial t^2} \right) U; \quad rE_\theta = \left( \frac{\partial^2}{\partial t \partial \theta} - \frac{\epsilon_{r\theta} r}{c^2} \frac{\partial^2}{\partial t^2} \right) U;$$

$$rcH_\theta = \frac{\partial}{\partial t} \left( \epsilon_{r\theta} \left( 1 + r \frac{\partial}{\partial r} \right) - \frac{\partial}{\partial \theta} \epsilon_{\theta\theta} \right) U. \quad (6)$$

Решение системы (3), (4), конечное при  $r = 0$  и удовлетворяющее условию уходящего излучения при  $r \rightarrow \infty$ , может быть представлено в таком виде ( $S = U, V$ )

$$\{S\} = \sum_n \exp(-i\omega t) P_n(\cos \theta) \begin{cases} A_{S,n} j_n(q_s r), & r \leq r_0, \\ B_{S,n} h_n^{(1)}(kr), & r \geq r_0, \end{cases} \quad (7)$$

где  $A_{S,n}$  и  $B_{S,n}$  — постоянные,  $r_0$  — радиус шара,  $k = \omega/c$ ,  $n$  — полярный индекс,  $q_s$  — радиальная компонента волнового вектора внутри шара,  $j_n(x) = \sqrt{\frac{\pi x}{2}} J_{n+\frac{1}{2}}(x)$ ,  $h_n^{(1)}(x) = \sqrt{\frac{\pi x}{2}} H_{n+\frac{1}{2}}^{(1)}(x)$ ,  $J_\nu(x)$  и  $H_\nu^{(1)}(x)$  — цилиндрические функции Бесселя и Ханкеля первого рода,  $P_n(\cos \theta)$  —

полиномы Лежандра,  $j_n(x)$  и  $P_n \equiv P_n(\cos \theta)$  удовлетворяют рекуррентным состояниям

$$\sin \theta \frac{\partial P_n}{\partial \theta} = n(P_n \cos \theta - P_{n-1}) = (n+1)(P_{n+1} - P_n \cos \theta),$$

$$x \frac{dj_n(x)}{dx} = (n+1)j_n(x) - xj_{n+1}(x) = xj_{n-1}(x) - nj_n(x). \quad (8)$$

Подставляя разложение (7) в уравнение (3), определяем радиальные компоненты волнового вектора  $TE$ -моды. Для азимутально-однородных колебаний в изотропных и акнизотропных резонаторах они совпадают и равны  $q_V = k\sqrt{\varepsilon_{xx}}$ .

Влияние анизотропии сказывается только на  $TM$ -моды. Подставляя (7) в (4), используя рекуррентные соотношения (8) и приравнявая коэффициенты при  $j_n(qr)P_n(\cos \theta)$ , приходим к системе алгебраических уравнений для коэффициентов разложения  $A_{U,n}$

$$\begin{aligned} & \left( \varepsilon_{xx}\varepsilon_{zz}k^2 - \left( \varepsilon_+ - \frac{\varepsilon_-}{(2n-1)(2n+3)} \right) q_U^2 \right) A_{U,n} \\ & + \frac{\varepsilon_- q_U^2}{2} \left( \left( 1 + \frac{4n-3}{(2n-1)(2n-3)} \right) A_{U,n-2} \right. \\ & \left. + \left( 1 - \frac{4n+7}{(2n+3)(2n+5)} \right) A_{U,n+2} \right) = 0. \quad (9) \end{aligned}$$

Из (9) замечаем, что влияние анизотропии приводит к появлению взаимодействия парциальных колебаний с различными значениями полярных индексов  $n$ . Систему (9) после несложных, но громоздких преобразований приводим к виду

$$\left( \alpha_n - \frac{\gamma_{n-2}\beta_n}{Q_n} - \frac{\gamma_n\beta_{n+2}}{T_n} \right) A_n = 0, \quad (10)$$

$$A_{n+2} = -\rho_n A_n, \quad A_{n-2} = -g_n A_n, \quad (11)$$

где

$$\begin{aligned} \alpha_n &= \alpha + \frac{\varepsilon_- q_U^2}{(2n-1)(2n+3)}, \\ \beta_n &= \beta \left( 1 + \frac{4n-3}{(2n-1)(2n-3)} \right), \\ \gamma_n &= \beta \left( 1 - \frac{4n+7}{(2n+3)(2n+5)} \right), \\ \alpha &= \varepsilon_{xx}\varepsilon_{zz}k^2 - \varepsilon_+ q_U^2, \quad \beta = \frac{\varepsilon_- q_U^2}{2}, \\ \rho_n &= \frac{\beta_{n+2}}{Q_n}, \quad g_n = \frac{\gamma_{n-2}}{T_n}, \\ Q_n &= \alpha_{n-2} - \frac{\beta_{n-2}\gamma_{n-4}}{\alpha_{n-4} - \frac{\beta_{n-4}\gamma_{n-6}}{\alpha_{n-6} - \frac{\beta_{n-6}\gamma_{n-8}}{\dots R}}}, \\ T_n &= \alpha_{n+2} - \frac{\beta_{n+4}\gamma_{n+2}}{\alpha_{n+4} - \frac{\beta_{n+6}\gamma_{n+4}}{\alpha_{n+6} - \dots}}. \end{aligned}$$

При  $n=0$  и  $n=1$  параметр  $\beta_n$  обращается в нуль. Поэтому в выражении для  $Q_n$

$$R = \alpha_2 - \frac{\beta_2\gamma_0}{\alpha_0}$$

при четных  $n$  и

$$R = \alpha_3 - \frac{\beta_3\gamma_5}{\alpha_1}$$

при нечетных  $n$ . В выражении для  $T_n$  часть дроби сворачивается. Действительно, при  $(n+s) \gg 1$  влиянием зависимости от индекса в  $\alpha_{n+s}$ ,  $\beta_{n+s}$ ,  $\gamma_{n+s}$  можно пренебречь. В этом случае

$$\Omega \equiv \alpha_{n+s} - \frac{\gamma_{n+s}\beta_{n+s+2}}{\alpha_{n+s+2} - \dots} = \alpha - \frac{\beta^2}{\alpha - \dots} = \alpha - \frac{\beta^2}{\Omega}. \quad (12)$$

Решая уравнение (12) относительно  $\Omega$ , получаем

$$2\Omega_{\pm} = \alpha \pm \sqrt{\alpha^2 - 4\beta^2}. \quad (13)$$

Выражение для  $T_n$  при этом приводится к такому виду:

$$T_n = \alpha_{n+2} - \frac{\gamma_{n+2}\beta_{n+4}}{\alpha_{n+4} - \dots - \frac{\gamma_{n+s-2}\beta_{n+s}}{\Omega_{\pm}}}. \quad (14)$$

Условие существования нетривиального решения (10) приводит к функциональному соотношению

$$\alpha_n - \frac{\gamma_{n-2}\beta_n}{Q_n} - \frac{\gamma_n\beta_{n+2}}{T_n} = 0. \quad (15)$$

На поверхности шара ( $r=r_0$ ) должны быть непрерывны тангенциальные компоненты полей резонансных колебаний полей  $E_{\theta}$  и  $H_{\varphi}$ . Для  $TE$ -мод при удовлетворении этим условиям получаем уравнение, совпадающее с дисперсионным уравнением для изотропного шара,

$$y_V j_{n-1}(y_V) h_n^{(1)}(y_0) = y_0 j_n(y_V) h_{n-1}^{(1)}(y_0), \quad (16)$$

где  $y_s = q_s r_0$ ,  $y_0 = k r_0$ .

Рассмотрим теперь  $TM$ -моды. Условие непрерывности при  $r=r_0$  тангенциальных компонент  $E_{\theta}$  и  $H_{\varphi}$  приводит к соотношениям

$$\begin{aligned} & \sum_n \left( (y_U j_{n-1}(y_U) - n j_n(y_U)) \frac{dP_n}{d\theta} - \varepsilon_- y_0^2 \sin 2\theta j_n(y_U) P_n \right) A_n \\ & = \sum_n (y_0 h_{n-1}^{(1)}(y_0) - n h_n^{(1)}(y_0)) \frac{dP_n}{d\theta} B_n, \\ & \sum_n \left( j_n(y_U) \frac{d}{d\theta} (\varepsilon_+ - \varepsilon_- \cos 2\theta) P_n \right. \\ & \left. + \varepsilon_- \sin 2\theta ((n+1)j_n(y_U) + y_U j_{n-1}(y_U)) \right) A_n \\ & = \sum_n h_n^{(1)}(y_0) \frac{dP_n}{d\theta} B_n. \quad (17) \end{aligned}$$

Воспользовавшись рекуррентными соотношениями (8) можно показать, что

$$\begin{aligned} \sin 2\theta P_n &= \frac{2}{2n+1} \frac{d}{d\theta} \left( \frac{n}{2n-1} P_{n-2} - \frac{n+1}{2n+3} P_{n+2} - \frac{2n+1}{(2n-1)(2n+3)} P_n \right), \\ \cos 2\theta P_n &= \frac{2}{2n+1} \left( \frac{n(n-1)}{2n+1} P_{n-2} + \frac{(n+1)(n+2)}{2n+3} P_{n+2} - \frac{2n+1}{(2n-1)(2n+3)} P_n \right). \end{aligned} \quad (18)$$

Подставляя (18) в (17) и приравнявая коэффициенты при  $dP_n/d\theta$ , получаем систему алгебраических уравнений относительно  $A_n$  и  $B_n$ . Условие существования нетривиальных решений ее приводит к функциональному уравнению.

$$y_0 h_n^{(1)}(y_0) F_{U,n} = (y_0 h_{n-1}^{(1)}(y_0) - n h_n^{(1)}(y_0)) G_{U,n}, \quad (19)$$

где

$$\begin{aligned} F_{U,n} &= y_U j_{n-1}(y_U) - n j_n(y_U) + 2\varepsilon_- y_0^2 \left( \frac{(n+2)\rho_n j_{n+2}(y_U)}{(2n+3)(2n+5)} - \frac{(n-1)g_n j_{n-2}(y_U)}{(2n-1)(2n-3)} - \frac{j_n(y_U)}{(2n-1)(2n-3)} \right), \\ G_{U,n} &= \left[ \varepsilon_+ - \frac{\varepsilon_-}{2n+3} \right] j_n(y_U) + 2\varepsilon_- \left( \frac{y_U j_{n-1}(y_U)}{2(2n-1)(2n+3)} + \frac{nR_{1,n}g_n}{(2n-1)(2n-3)} + \frac{(n+1)R_{2,n}\rho_n}{(2n+3)(2n+5)} \right), \\ R_{1,n} &= \left( \frac{(2n-1)^2}{y_U} - y_U \right) j_{n-1}(y_U) - (2n-1)j_n(y_U), \\ R_{2,n} &= \left( \frac{(2n+3)^2}{y_U} - y_U \right) j_{n+1}(y_U) - (2n+3)j_n(y_U). \end{aligned}$$

Совместное решение (15) и (19) определяет в анизотропном шаре из одноосного кристалла радиальную компоненту волнового вектора и резонансную частоту колебаний  $TM$ -моды при произвольных значениях полярного индекса.

В изотропном шаре существуют высокочастотные колебания, характеризуемые большими значениями полярного индекса. Важнейшей специфической особенностью их является сосредоточение энергии поля колебаний в области, примыкающей к поверхности шара [4]. Высокая добротность и обнаружение областей энергии позволили предложить ряд устройств с новыми уникальными свойствами, измерить предельно малые потери в кристаллах и жидкостях [5–8].

При  $n \gg 1$  выражения (11), (15) значительно упрощаются и приводятся к виду

$$\begin{aligned} A_{n+1} &\approx \zeta A_{n-1}, \quad \zeta = \pm 1, \\ [\varepsilon_+ - \zeta \varepsilon_-] q_U^2 &\approx \varepsilon_{xx} \varepsilon_{zz} k^2. \end{aligned} \quad (20)$$

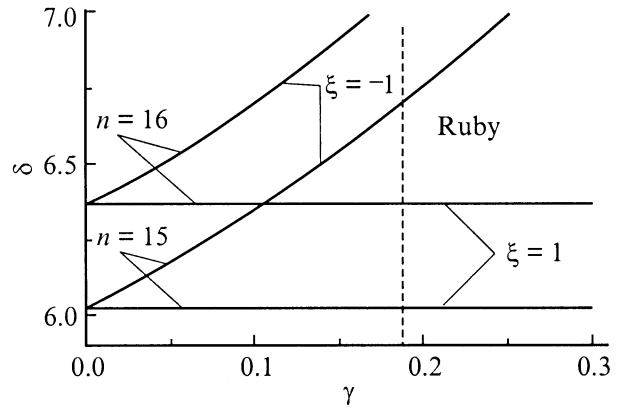


Рис. 1. Зависимость безразмерной резонансной частоты  $\delta$   $TM$ -моды анизотропного шара от параметра  $\gamma$  при  $\varepsilon_{zz} = 11.53$ .

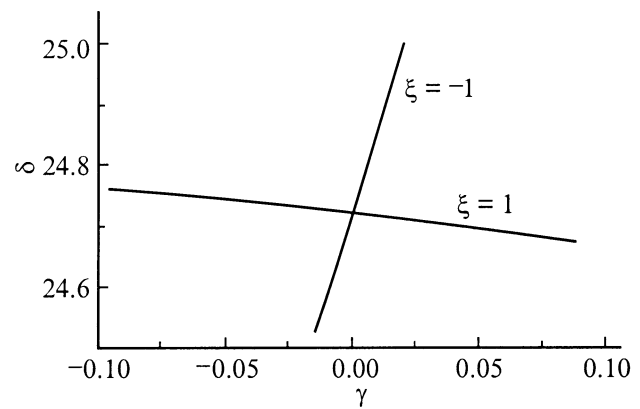


Рис. 2. То же, что и на рис. 1, при  $\varepsilon_{zz} = 2.04$ .

Последнее соотношение определяет компоненту волнового вектора для  $TM$ -мод

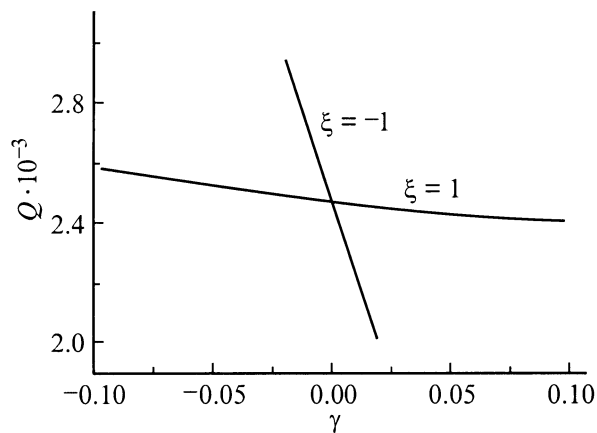
$$q_U = k \sqrt{\frac{\varepsilon_{xx} \varepsilon_{zz}}{\varepsilon_+ - \zeta \varepsilon_-}}. \quad (21)$$

Соотношение (19) приводится к виду

$$\begin{aligned} &((y_V^2 - 2\varepsilon_- y_0^2) j_{n-1}(y_V) - n y_V j_n(y_V)) h_n^{(1)}(y_0) \\ &= (\varepsilon_+ - \zeta \varepsilon_-) y_V j_n(y_V) (y_0 h_{n-1}^{(1)}(y_0) - n h_n^{(1)}(y_0)). \end{aligned} \quad (22)$$

В дисперсионное уравнение (22) входит параметр  $\zeta$ , принимающий значения  $+1$  и  $-1$ . Это соответствует тому, что в шаре под влиянием анизотропии возникают два независимых колебания  $TM$ -моды с различными частотами.

На рис. 1 представлена зависимость приведенной резонансной частоты  $\delta = r_0 \omega / c$  от параметра  $\gamma = (\varepsilon_{zz} - \varepsilon_{xx}) / \varepsilon_{xx}$  при  $n$ , равном 15 и 16;  $r_0 = 1$  см;  $\varepsilon_{zz} = 11.53$ ;  $\text{tg } \delta = 10^{-4}$ . В изотропном шаре ( $\gamma = 0$ ) возникают одно колебание  $TE$ -моды и одно колебание  $TM$ -моды. Влияние анизотропии ( $\gamma \neq 0$ ) приводит к



**Рис. 3.** Зависимость добротности  $Q$  резонансных колебаний  $TM$ -моды анизотропного шара от параметра  $\gamma$  при  $\varepsilon_{zz} = 2.04$ .

расщеплению  $TM$  на два колебания с различными частотами и радиальными компонентами волнового вектора  $\omega$ . В частности, для шара из рубина их частоты равны ( $n = 15$ ) 28.7 и 32.3 GHz.

На рис. 2 и 3 представлена зависимость безразмерной частоты  $\delta$  и добротности  $Q$  от параметра  $\gamma$  анизотропного шара при  $\varepsilon_{zz} = 2.08$  (тефлон),  $r_0 = 3.9$  см,  $n = 30$ ,  $\text{tg} = 1.786 \cdot 10^{-4}$ . Известно, что тефлон является изотропным материалом. Влияние анизотропии, возникающей при его изготовлении, приводит к расщеплению резонансных частот  $TM$ -колебаний, что может быть использовано на практике.

## Список литературы

- [1] *Stratton J.A.* Electromagnetic Theory. New York: Mc Graw-Hill, 1941. 554 p.
- [2] *Makinejad Babak, Ford George W.* // Phys. Rev. 1991. Vol. B. 44. P. 8536–8546.
- [3] *Gastine M., Gourtois L., Dormann J.* // IEEE Trans. On Microwave Theory and Tech. 1967. Vol. MTT-15. N 12. P. 694–700.
- [4] *Вайнштейн Л.А.* Открытые резонаторы и открытые волноводы. М.: Сов. радио, 1966. 475 с.
- [5] *Брагинский В.В., Ильченко В.С.* // ДАН СССР. 1987. Т. 293. № 6. С. 1358–1361.
- [6] *Sottini S., Giogetti E., Marcelino C.* // Pure and Appl. Opt. 1992. Vol. 1. N 6. P. 359–372.
- [7] *Гананольский Е.М., Голик А.В., Королюк А.П.* // ФНТ. 1993. Т. 19. № 11. С. 1255–1262.
- [8] *Харьковский С.Н., Когут А.Е., Кутузов В.В.* // Письма в ЖТФ. 1997. Т. 23. Вып. 15. С. 25–29.